

*K. т. н. О. Н. НЕГОДЕНКО, к. т. н. В. И. СЕМЕНЦОВ,
A. A. ХВОСТЕНКО, Д. В. ЗАРУБА*

Россия, Таганрогский радиотехнический университет
E-mail: metbis@fep.tsure.ru

Дата поступления в редакцию
20.11.2002 г. — 27.02.2003 г.

Оппоненты к. т. н. А. Г. ЛОШКО, к. т. н. А. А. НОВИКОВ
(ОНАС им. А. С. Попова, г. Одесса)

ПЛАНАРНЫЕ LC-РЕЗОНАТОРЫ С РАСПРЕДЕЛЕННЫМИ ПАРАМЕТРАМИ И ИХ ПРИМЕНЕНИЕ

Анализируются частотные свойства резонаторов, приводятся примеры их использования в датчиках электромагнитных излучений и в радиопарных датчиках.

Индуктивные элементы (ИЭ) и цепи на их основе все еще применяются в устройствах связи, управления, контроля, диагностики [1]. Для частот в десятки и сотни МГц представляют интерес планарные резонаторы и устройства с их использованием, построенные на основе LC-цепи с распределенными параметрами (\bar{LC} -цепи), изготавливаемые по технологии печатных плат, пленочных и даже полупроводниковых интегральных микросхем [2].

В представленной работе анализируются частотные свойства планарных резонаторов и возможность использования таких резонаторов в различных функциональных устройствах.

Планарный резонатор (ПР) (рис. 1) содержит плоский спиральный токопровод (ТП) 1 на диэлектрической подложке 2. ТП отделен от проводящей пленки 4 диэлектриком 3. Для уменьшения потерь на вихревые токи проводящая пленка может содержать прорези 5.

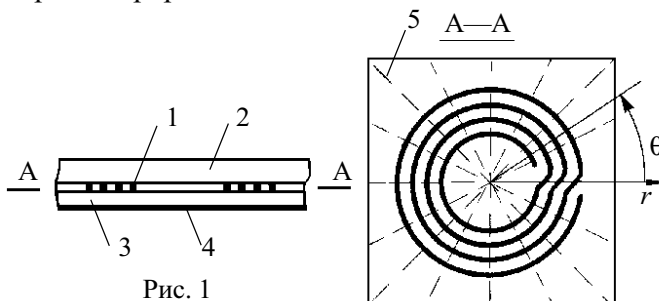


Рис. 1

Пусть ПР выводами токопровода подключен к источнику гармонического напряжения с угловой частотой ω . С учетом геометрии ТП можно записать:

$$\begin{aligned} \dot{U}_n(2\pi) &= \dot{U}_{n+1}(0), \dot{I}_n(2\pi) = \dot{I}_{n+1}(0); \\ \dot{U}_1(0) &= -\dot{U}_w(2\pi), \dot{I}_1(0) = \dot{I}_w(2\pi), n=1\dots(w-1), \end{aligned} \quad (1)$$

где $\dot{U}_n(\theta)$ и $\dot{I}_n(\theta)$ — комплексные амплитуды потенциала и тока n -го витка с угловой координатой θ (в (1) $\theta=0,2\pi$); измерение витков от 1 до w ведется от центра к периферии.

Комплексное сопротивление резонатора

$$\dot{Z} = [\dot{U}_1(0) - \dot{U}_w(2\pi)] / \dot{I}_1(0) = 2 \cdot \dot{U}_1(0) / \dot{I}_1(0). \quad (2)$$

На основании закона Ома для участка цепи и закона сохранения заряда получаем следующую систему обыкновенных дифференциальных уравнений:

$$\begin{aligned} -\frac{d\dot{U}_n(\theta)}{d\theta} &= \frac{1}{2\pi}(R_n + j\omega L_n) \dot{I}_n + j\omega \frac{1}{2\pi} \sum_{m=1}^w M_{mn} \dot{I}_m(\theta), m \neq n; \\ -\frac{d\dot{I}_n(\theta)}{d\theta} &= j\omega \frac{1}{2\pi} \sum_{m=1}^n \beta_{mn} \dot{U}_m(\theta), n=1\dots w, \end{aligned} \quad (3)$$

где L_n , R_n — индуктивность и активное сопротивление n -го витка; M_{mn} , β_{mn} — взаимная индуктивность и коэффициент электростатической индукции m -го и n -го витков; j — мнимая единица.

Решение (1)–(3) дает возможность определить комплексное сопротивление \dot{Z} . Для упрощения задачи введем усредненные параметры L , β и M . Так как расстояние между плоскостью ТП и проводящей пластиной 4 много меньше шага ТП, то можно принять $\beta_{mn}=0$. Далее, считая резонатор высокодобротным ($\omega L_n \gg R_n$), принимаем $R_n=0$. При этих допущениях из (3) получаем систему дифференциальных уравнений

$$\frac{d^2\dot{U}_n(\theta)}{d\theta^2} = -\frac{\omega^2 \beta L}{4\pi^2} \dot{U}_n(\theta) - \frac{\omega^2 \beta M}{4\pi^2} \sum_{p=1, p \neq n}^w \dot{U}_p(\theta), n=1\dots w \quad (4)$$

и ее решение:

$$\begin{aligned} \dot{U}_n(\theta) &= C_1 \cdot \cos \alpha \theta + C_2 \cdot \sin \alpha \theta + C_{2n+1} \cdot \cos v \theta + C_{2n+2} \cdot \sin v \theta, \\ n &= 1\dots(w-1); \\ \dot{U}_w(\theta) &= C_1 \cdot \cos \alpha \theta + C_2 \cdot \sin \alpha \theta - \sum_{n=1}^{w-1} C_{2n+1} \cdot \cos v \theta - \\ &- \sum_{n=1}^{w-1} C_{2n+2} \cdot \sin v \theta, \end{aligned} \quad (5)$$

где C_1 , C_2 — постоянные интегрирования;

$$\alpha = \frac{\omega}{2\pi} \sqrt{\beta L [1 + k(w-1)]}; \quad v = \frac{\omega}{2\pi} \sqrt{\beta L (1-k)}; \quad k = \frac{M}{L}.$$

Затем находим постоянные интегрирования C_1 , C_2 ... по граничным условиям (1) и приводим (2) к виду

$$\dot{Z}_h = \frac{1}{\left(\operatorname{ctg} \Psi A - \frac{A}{B} \operatorname{ctg} \Psi B + \frac{Aw}{B} \operatorname{ctg} \Psi B \right)}, \quad (6)$$

где \dot{Z}_h — нормированное комплексное сопротивление ПР —

$$\dot{Z}_h = \frac{\dot{Z}}{(2jw)\sqrt{\frac{L[1+k(w-1)]}{\beta}}};$$

$\Psi = 0,5\omega\sqrt{\beta L}$ — нормированная угловая частота;

$$A = \sqrt{1+k(w-1)}; \quad B = \sqrt{1-k}.$$

Типичная частотная зависимость \dot{Z}_h от Ψ для $k=0,3$, $w=5$ приведена на рис. 2. Она имеет бесконечное число полюсов и нулей, которые чередуются, но их распределение по оси частот неравномерно.

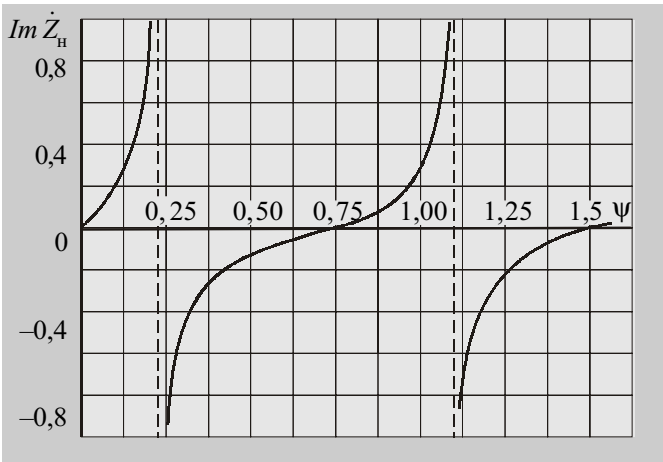


Рис. 2

Наибольший интерес представляет первый резонанс, т. к. на более высоких частотах потери в элементах ПР возрастают и его избирательные свойства ухудшаются. Покажем, что на частоте первого резонанса Ψ_{p1} и в ее окрестностях ПР можно представить простой эквивалентной схемой.

На частотах $\Psi=\Psi_{p1}$ аргументы котангенсов в (6) малы, и поэтому можно считать, что $\operatorname{ctgx} \approx (1/x) - (x/3)$. Относительная погрешность при $x \leq 1$ менее 4%.

Тогда из (6) находим:

$$\dot{Z}_h = \left[\frac{1}{\Psi A} - w^2 \frac{\Psi A}{3} \right]^{-1}. \quad (7)$$

Полюс функции (7) $\Psi_p = \frac{\sqrt{3}}{wA}$, откуда следует выражение для угловой частоты резонанса токов в ПР:

$$\omega_{p1} = \frac{1}{\sqrt{L_3 C_3}},$$

где $L_3 = wL[1+k(w-1)]$, $C_3 = \beta w/12$.

Согласно (7) и (8), на частоте ω_{p1} и в ее окрестности ПР эквивалентен простому параллельному колебательному контуру с индуктивностью L_3 и емкостью C_3 . Здесь произведение βw равно низкочастотному значению емкости C между витками ТП и проводящей пленкой (используется известная формула для плоскостного конденсатора). Поэтому $C_3 = C/12$, а L_3 равна низкочастотному значению индуктивности ТП

$L_{h\text{ч}}$ и может быть также рассчитана по формулам, приводимым в справочниках.

Проводящая пленка ПР может быть соединена с одним из выводов ТП. ПР может быть представлен последовательной схемой замещения, если первый вывод берется от ТП, а второй — от проводящей пленки. В этих случаях уравнение длинной линии решается при других граничных условиях. Возможные варианты ПР, их эквивалентные схемы и граничные частоты, до которых справедливы значения параметров эквивалентных схем, показаны на рис. 3.

Резонатор	Эквивалентная схема	Граничная частота
1		$f_{rp} = \frac{1}{2\sqrt{L_3 C}}$
2		$f_{rp} = \frac{1}{4\sqrt{L_3 C}}$
3		$f_{rp} = \frac{1}{4\sqrt{L_3 C}}$

Рис. 3

При форме ТП, отличной от показанной на рис. 1, частоты резонансов другие, однако эквивалентные схемы и граничные частоты сохраняются, меняются только значения емкости C и индуктивности $L_{h\text{ч}}$.

Из всех возможных применений ПР можно выделить датчики электромагнитных излучений (печатные приемные антенны), частотозадающие элементы автогенераторов для радиопарных датчиков.

Пример конструкции *телеизмерительной антенны* на 1-й—12-й каналы приведен на рис. 4. Она выполнена из стеклотекстолита толщиной 1,2 мм с двухсторонней металлизацией и применением прорезей 2. Антenna на лицевой стороне содержит монополь 1 для приема 12-го канала. По обе стороны монополя расположены девять одинаковых ПР 3, ТП которых соединены с монополем. ПР с помощью измерителя добротности Е4-11 настроены на частоты в пределах от 48,5 до 56,5 МГц через 1 МГц с применением дискретных припаиваемых конденсаторов емкостью соответственно 39, 42, 43, 44, 3, 47, 37, 5, 36, 33, 8 и 33 пФ. Набор ПР служит для приема первого канала.

С помощью прорезей выделен заземляемый элемент 4, соединяемый с оплеткой кабеля 5, внутренняя жила которого припаивается к монополю. Кабель подключается к входу телевизора. На обратной стороне антенны против ТП сформированы проводящие элементы ПР 6. Антenna обладает направленностью:

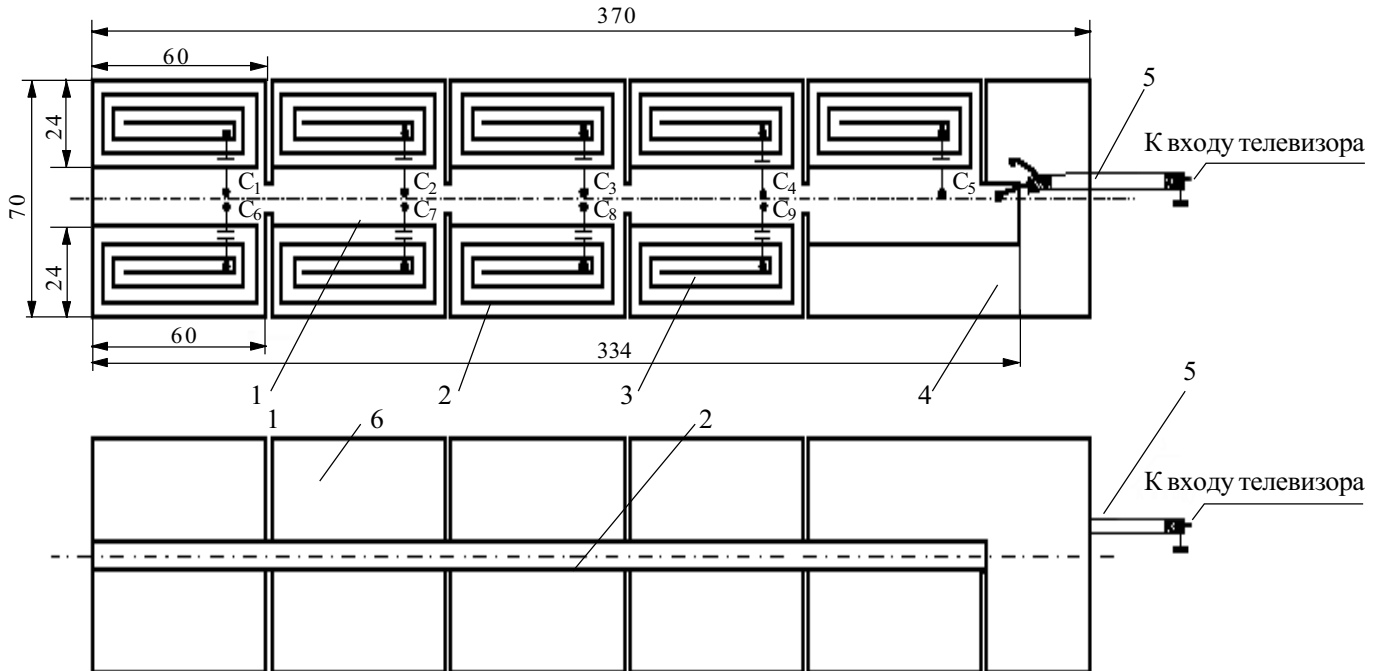


Рис. 4

выходной сигнал максимальен, если входной сигнал поступает слева направо (рис. 4); он ослабляется в 8 раз, если поступает по направлению, перпендикулярному плоскости антенны.

ПР в качестве частотозадающих элементов удобно использовать в автогенераторах на аналогах негатронов (АН) [3, с. 146, 166]. При использовании АН с S-образной вольт-амперной характеристикой (ВАХ) нужен ПР, не пропускающий постоянный ток (вариант 3 рис. 3). Для АН с N-образной ВАХ, наоборот, ПР должен пропускать постоянный ток (варианты 1 и 2 рис. 3). Такие генераторы являются излучающими модулями, которые можно использовать в радиопарных датчиках.

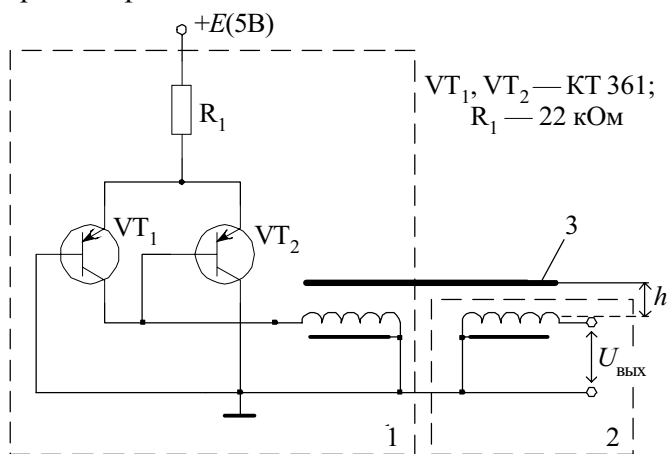


Рис. 5

Пример радиопарного датчика на АН с N-образной ВАХ показан на рис. 5. Датчик состоит из излучающего модуля 1, приемного ПР 2 и расположенной над ПР перемещаемой медной пластины 3. В эксперименте использовался ПР из стеклотекстолита размерами 1,2×110×80 мм. Витки ТП выполнялись с применением прорезей шириной 0,6 мм, число прямоугольных витков 15. График зависимости ампли-

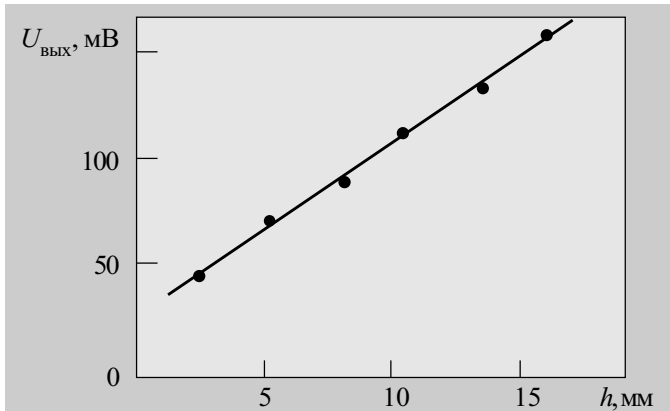


Рис. 6

туды выходного напряжения $U_{\text{вых}}$ от расстояния между ТП резонаторов и медной пластиной h приведен на рис. 6; по мере приближения медной пластины к резонаторам рабочая частота возрастает с 4,2 до 6 МГц. Как видно, зависимость почти линейная. Так как медная пластина может перемещаться под действием массы, силы, то такой радиопарный датчик может служить для измерения этих величин.

Таким образом, анализ частотных свойств резонаторов и вариантов их включения показал возможность применения резонаторов в датчиках физических величин и в других функциональных устройствах.

ИСПОЛЬЗОВАННЫЕ ИСТОЧНИКИ

1. Негоденко О. Н., Семенцов В. И., Мардамшин Ю. П. Датчики приближения и положения на основе индуктивных балансных сенсоров // Технология и конструирование в электронной аппаратуре.— 2001.— № 4—5.— С. 53—55.
2. Burghartz J. N., Jenkis K. A., Soguer M. Multilevel spiral inductor using VLSI interconnect technology // IEEE Electron Device Letters.— 1996.— Vol. 17, N 9.— P. 428—430.
3. Серебренов А. Н., Степанова Л. Н., Гаряинов С. А. и др. Негатронника.— Новосибирск: Наука, 1995.